



Métodos Numéricos para Equações Diferenciais

Helio Pedro Amaral Souto

Nova Friburgo, 19 de março de 2024

Graduação em Engenharia

1 Sistema Massa-Mola com Amortecimento

Em muitas aplicações práticas, como por exemplo o sistema de amortecimento de um veículo, o estudo do movimento de um sistema massa-mola com amortecimento pode ser útil na compreensão desses mecanismos. Na Figura 1, temos uma representação esquemática de um destes sistemas. Uma vez que a mola for distendida, o sistema irá oscilar (ou não) até atingir o repouso.

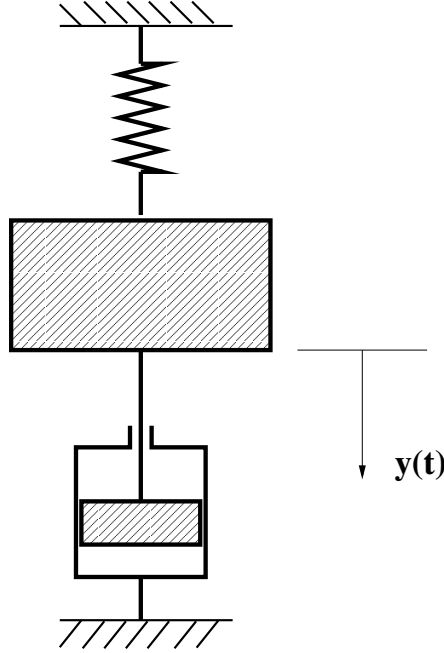


Figura 1: Sistema massa-mola com amortecimento.

A segunda Lei de Newton pode ser aplicada a esse sistema, de modo que a posição y do bloco, como uma função do tempo, será dada mediante a resolução da seguinte equação diferencial ordinária de segunda ordem [1]:

$$m \frac{d^2 y}{dt^2} + c \frac{dy}{dt} + ky = 0, \quad (1)$$

onde m representa a massa do bloco, c o coeficiente de amortecimento, k a constante elástica da mola e desprezamos o peso do bloco.

Essa equação pode ainda ser escrita na forma

$$\frac{d^2 y}{dt^2} + A \frac{dy}{dt} + By = 0, \quad (2)$$

onde, agora, $A = c/m$ e $B = k/m$.

Da teoria das equações diferenciais ordinárias, sabemos que a Equação (2) admite uma solução do tipo [1]

$$y(t) = \exp(Pt) [C_1 \cos(Qt) + C_2 \sin(Qt)], \quad (3)$$

onde

$$P = -\frac{A}{2}, \quad (4)$$

$$Q = \sqrt{B - \left(\frac{A^2}{4}\right)} \quad (5)$$

e as constantes C_1 e C_2 devem ser determinadas a partir das seguintes condições iniciais:

$$y(0) = y_0 \quad (6)$$

$$\left.\frac{dy}{dt}\right|_{t=0} = 0, \quad (7)$$

onde y_0 indica a posição inicial do bloco e a segunda condição impõe uma velocidade inicial nula para o bloco.

Agora, da primeira condição obtemos

$$C_1 = y_0. \quad (8)$$

Por outro lado, para a determinação da segunda devemos verificar a seguinte igualdade

$$\frac{dy}{dt} = \exp(Pt) \left[P y_0 \cos(Qt) - Q y_0 \sin(Qt) + P C_2 \sin(Qt) + Q C_2 \cos(Qt) \right] = 0, \quad (9)$$

para $t = 0$. Portanto, dessa última condição chegamos ao valor da segunda constante

$$C_2 = -\left(\frac{P}{Q}\right) y_0 \quad (10)$$

Após substituição desses valores na forma geral da solução analítica, Equação (3), obtemos a forma final da solução teórica

$$y(t) = y_0 \exp(Pt) \left[\cos(Qt) - \left(\frac{P}{Q}\right) \sin(Qt) \right] \quad (11)$$

e a expressão para a velocidade do bloco é dada por

$$\frac{dy}{dt} = -y_0 \exp(Pt) \left(\frac{P^2 + Q^2}{Q} \right) \sin(Qt) \quad (12)$$

Uma informação importante é a de que a solução analítica será complexa caso

$$B > \frac{A^2}{4} \quad (13)$$

ou seja,

$$k > \frac{c^2}{4m} \quad (14)$$

e, nesse caso, ela apresentará um decaimento exponencial oscilatório. Caso ela não seja complexa, a solução terá simplesmente um decaimento exponencial não-oscilatório.

Nas Figuras 2 e 3, são apresentados os gráficos das soluções analíticas correspondentes à posição do bloco e à sua velocidade, respectivamente. Na obtenção desses resultados, foram utilizados os seguintes valores: $y_0=0,5$, $v_0=0$, $m=1$, $c=1$ e $k=15$ e um incremento de tempo $\Delta t=0,1$.

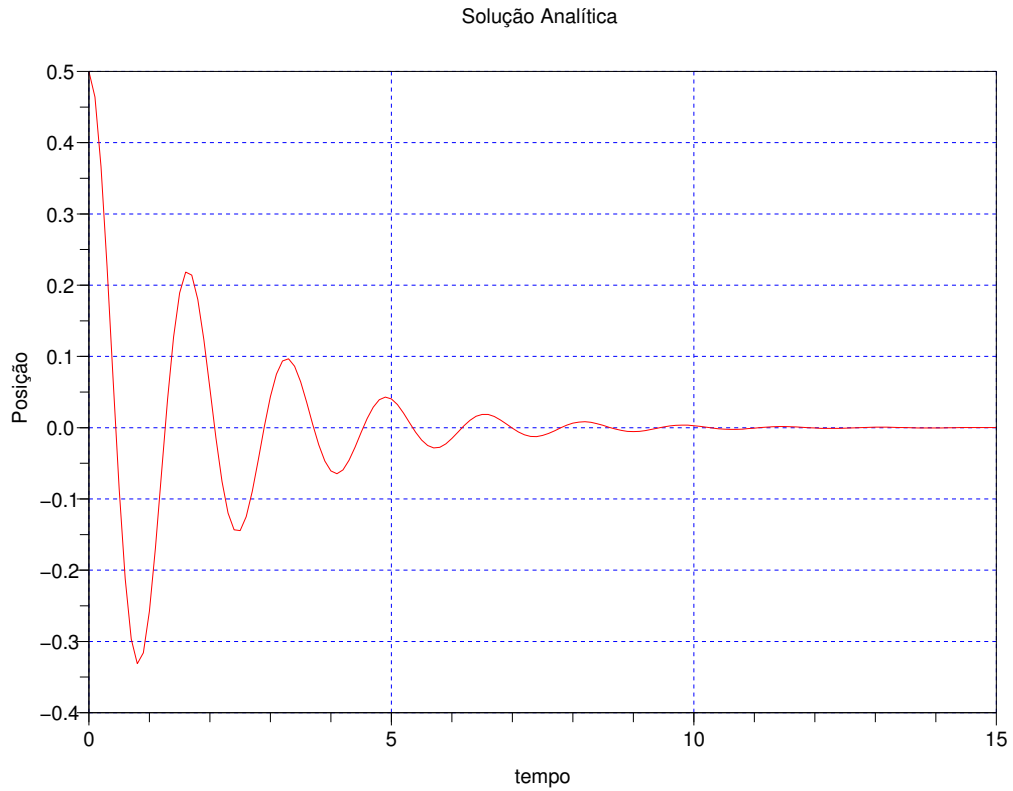


Figura 2: Posição do bloco em função do tempo transcorrido.

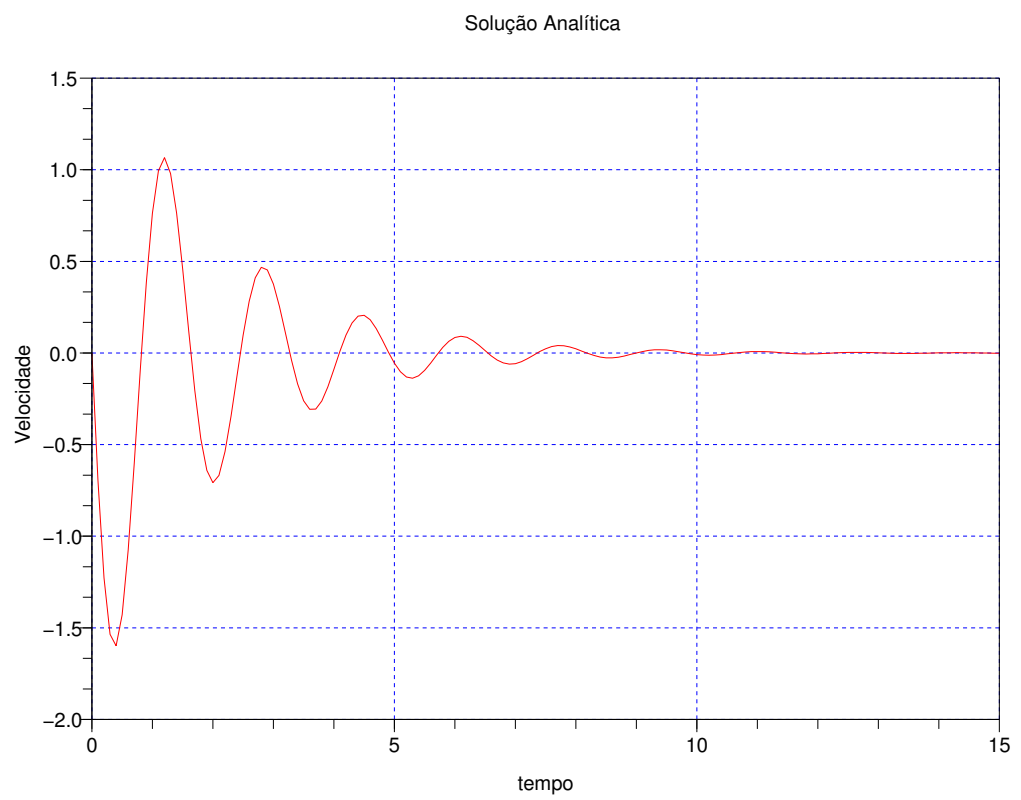


Figura 3: Velocidade do bloco em função do tempo transcorrido.

2 Solução Numérica

A resolução numérica da Equação (2) será realizada mediante a substituição dessa equação diferencial ordinária de segunda ordem, por um sistema equivalente de duas equações ordinárias de primeira ordem, isto é,

$$\frac{dy}{dt} = v \quad (15)$$

$$\frac{dv}{dt} = -(Av + By) \quad (16)$$

Na resolução desse sistema, empregaremos o Método de Runge-Kutta de Quarta Ordem 3/8 [2], dado por:

$$y_{i+1} = y_i + \left[\frac{1}{8} (k_1 + 3k_2 + 3k_3 + k_4) \right] \Delta t,$$

onde

$$k_1 = f(t_i, y_i)$$

$$k_2 = f\left(t_i + \frac{1}{3}\Delta t, y_i + \frac{1}{3}k_1\Delta t\right)$$

$$k_3 = f\left(t_i + \frac{2}{3}\Delta t, y_i - \frac{1}{3}k_1\Delta t + k_2\Delta t\right)$$

$$k_4 = f(t_i + \Delta t, y_i + k_1\Delta t - k_2\Delta t + k_3\Delta t)$$

cujo algoritmo foi escrito considerando o seguinte problema de valor inicial

$$\begin{cases} \frac{dy}{dt} = f(t, y) \\ y(t_0) = y_0 \end{cases} \quad (17)$$

A título de exemplo, nas Figuras 4 e 5 são confrontados os resultados das soluções analíticas (11) e (12) com os seus correspondentes numéricos, obtidos mediante o emprego do método de Runge-Kutta Clássico de Quarta Ordem na resolução das equações (15) e (16).

Conforme podemos observar, os resultados numéricos aproximam de maneira satisfatória as soluções analíticas, indicando que o método numérico empregado é acurado e apropriado para a resolução desse tipo de problema.

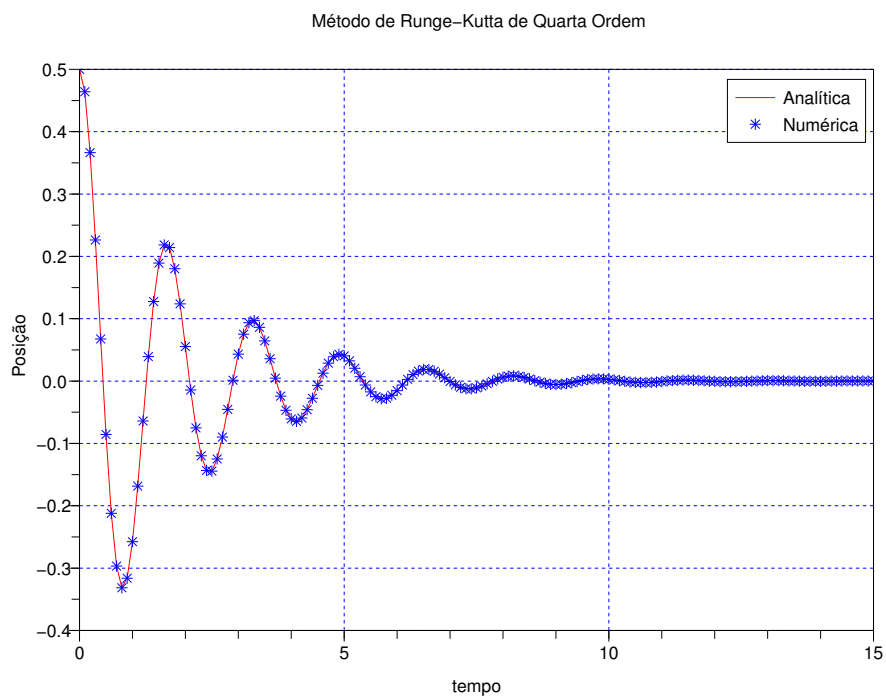


Figura 4: Posição do bloco em função do tempo transcorrido.

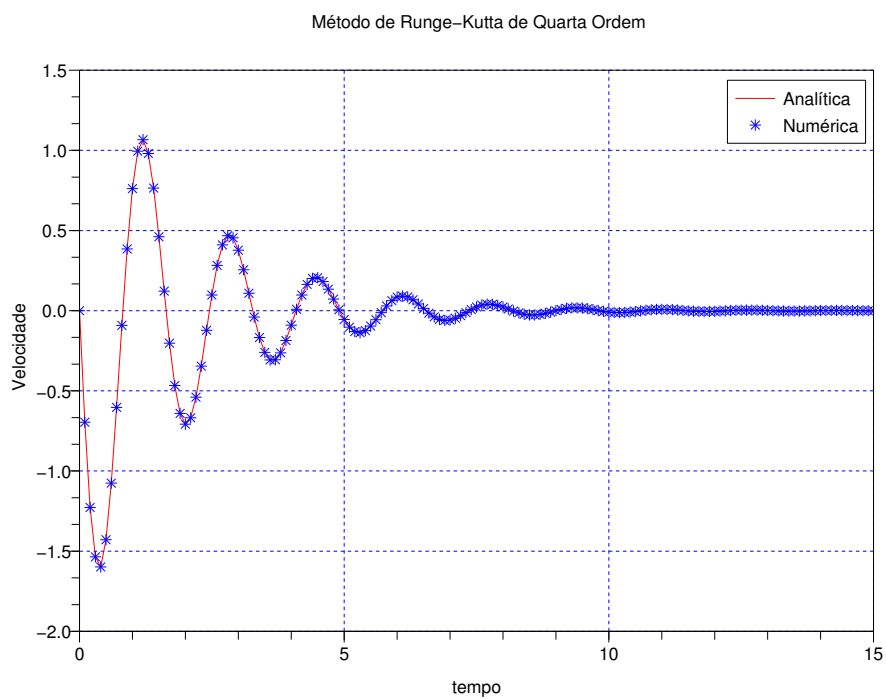


Figura 5: Velocidade do bloco em função do tempo transcorrido.

Os seguintes parâmetros físicos devem ser empregados nas simulações numéricas:

Primeiro caso

$$c = 0 \rightarrow \begin{cases} k = 0,25 \\ k = 0,5 \\ k = 0,75 \\ k = 1,0 \end{cases} \quad (18)$$

Segundo caso

$$c = 4 \rightarrow \begin{cases} k = 1,0 \\ k = 10,0 \\ k = 50,0 \\ k = 150,0 \end{cases} \quad (19)$$

sabendo que a massa do bloco é igual a 2.

Escolha um incremento de tempo e obtenha a solução numérica até um tempo $t=15$ para o primeiro caso e $t=10$ no segundo. Compare-os com aqueles correspondentes aos valores provenientes da solução analítica. Os resultados devem ser apresentados na forma de uma tabela. Como exemplo, vide a Tabela 1.

Tabela 1: Exemplo da apresentação dos resultados.

Tempo	y_{exato}	$y_{\text{numérico}}$	v_{exato}	$v_{\text{numérico}}$
00,0000	y_0	y_0	00,0000	00,0000
\vdots	\vdots	\vdots	\vdots	\vdots
XX,XXXX	XX,XXXX	XX,XXXX	XX,XXXX	XX,XXXX

O código fonte e a listagem dos resultados devem ser fornecidos em um arquivo no formato PDF, carregado na plataforma Moodle!

Referências

- [1] Dennis G. Zill. *A First Course in Differential Equations with Modeling Applications*. Brooks/Cole, Cengage Learning, 2009.
- [2] Metin Hatun and Fahri Vatansever. *Differential Equation Solver Simulator for Runge-Kutta Methods*. Uludağ University Journal of The Faculty of Engineering, Vol. 21, No.1, 2016.